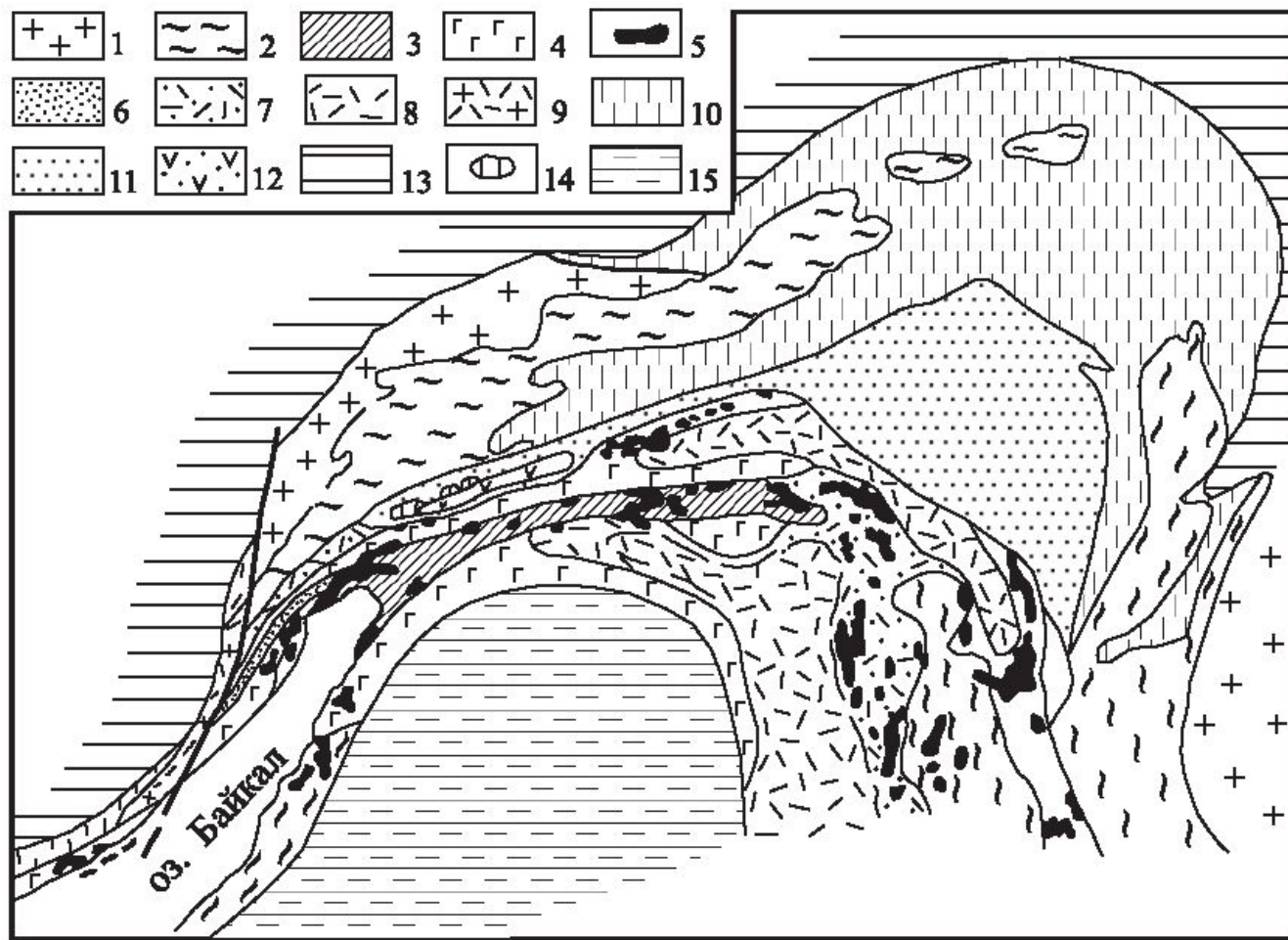


Сопоставление разрезов рифея

Свиты: 1 – зильмердакская, 2 – катавская, 3 – инзерская, 4 – миньярская, 5 – укская, 6 – криволукская.

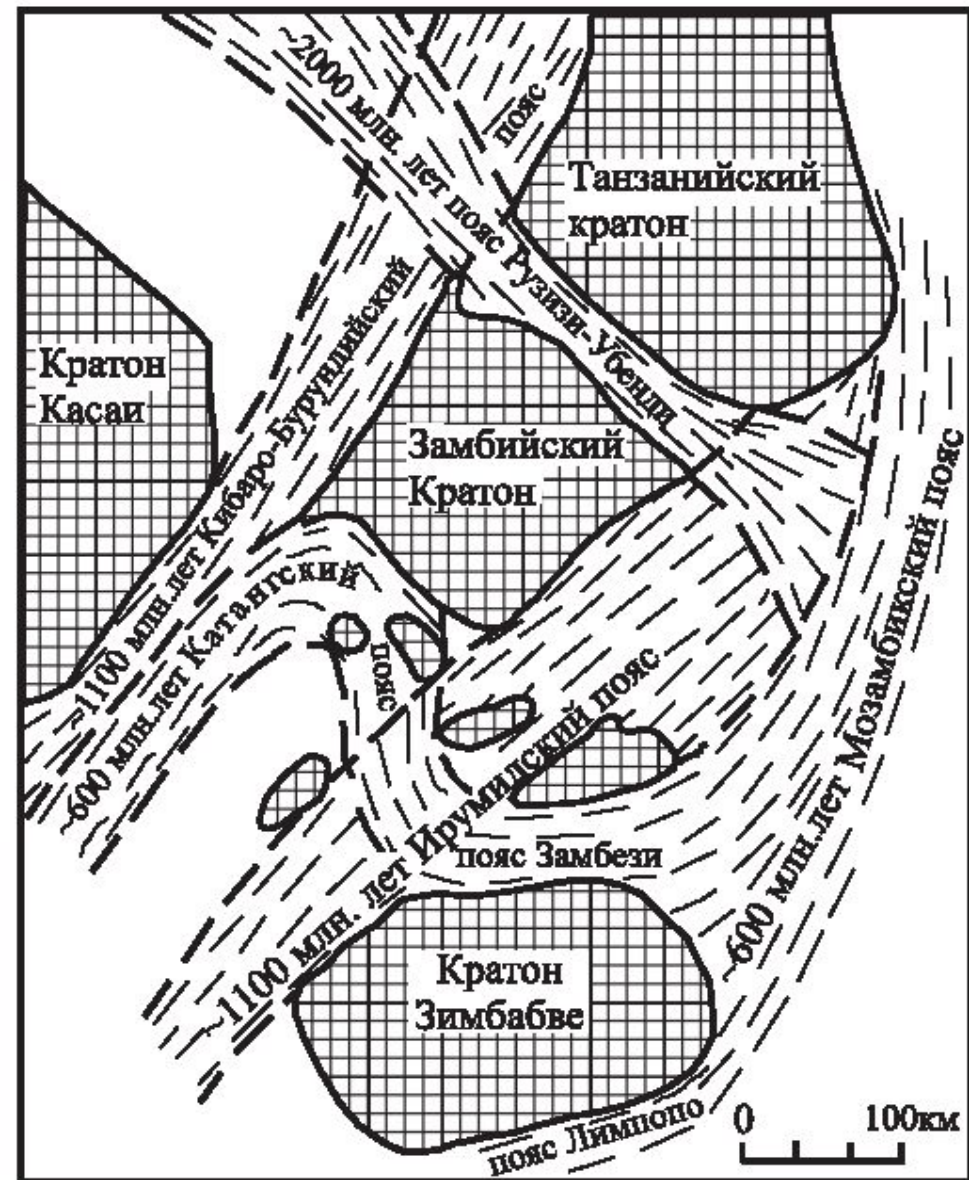
Условные обозначения: 1 – конгломераты; 2 – тиллиты; 3 – пески и песчаники; 4 – алевролиты; 5 – глины; 6 – глины и глинистые сланцы; 7 – мергели и глинистые известняки; 8 – известняки; 9 – доломиты; 10 – угли; 11 – гипсы и ангидриты; 12 – соли; 13 – глинистые и кристаллические сланцы; 14 – складчатый фундамент; 15 – гранитоиды; 16 – основные эффузивы; 17 – кислые эффузивы; 18 – красноцветы; 19 – глаукониты; 20 – фосфриты



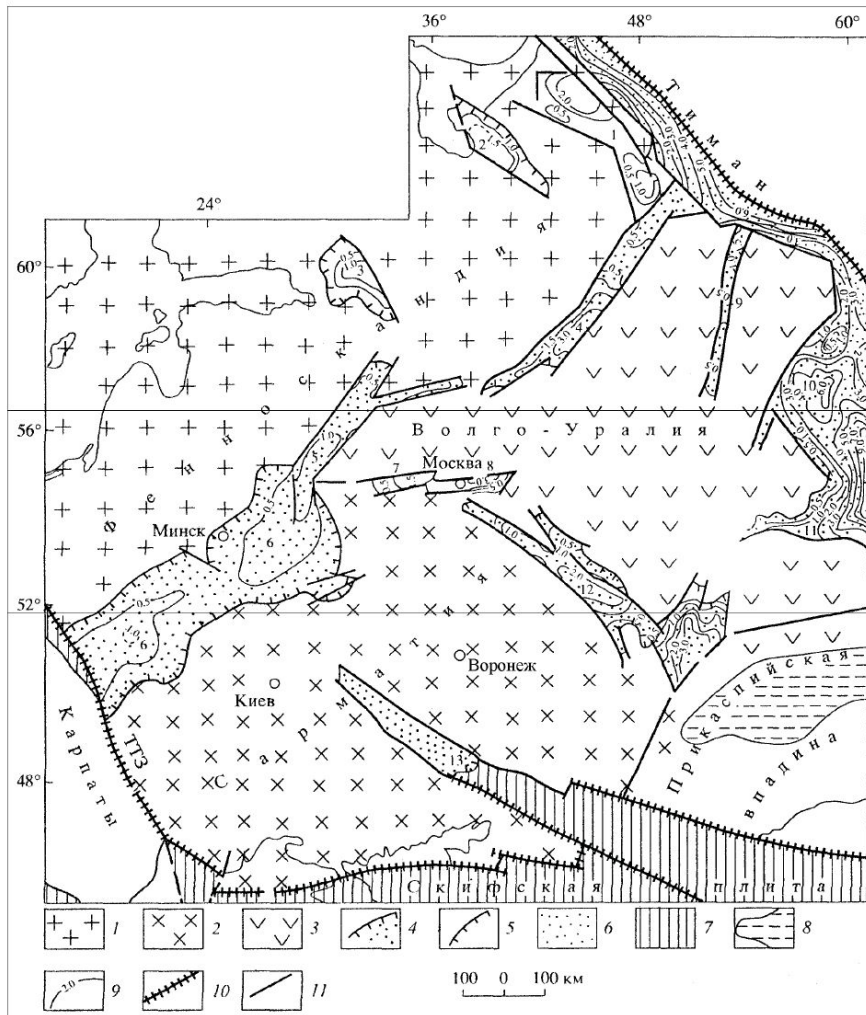
**Схема Байкало-Муйского офиолитового пояса (по Н.Л. Добрецову):**

1 – архейские породы; 2 – сиалический кристаллический фундамент в структурах байкалид; 3, 4 – Байкало-Муйский пояс (3 – внутренняя зона; 4 – внешняя зона); 5 – «будинаж-плутонны» габбро и ультрабазитов; 6 – метаморфизованный олистостром; 7, 8 – районы распространения киянской серии (7 – с олистостромовыми горизонтами, 8 – с кислыми метавулканитами); 9 – Прибайкальский вулканический пояс; 10 – терригенные толщи краевого прогиба; 11, 12 – толщи Олоkitско-Бодайбинского внутреннего прогиба (11 – метатерригенные, 12 – вулканогенные); 13 – чехол Сибирской платформы; 14 – оливинит-перидотит-троктолитовый (довыренский) комплекс; 15 – внутренняя зона байкалид



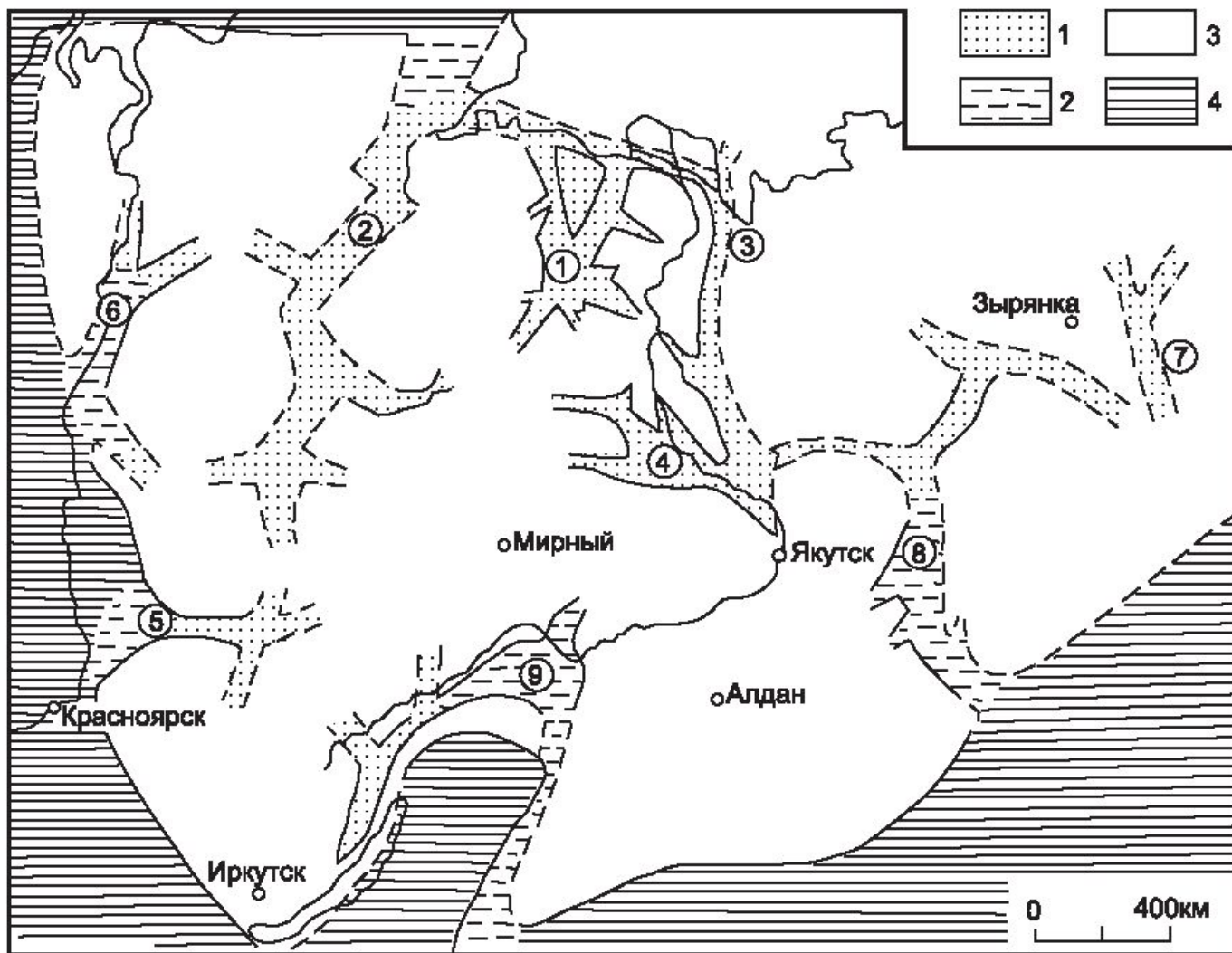


Пересекающиеся взаимоотношения протерозойских подвижных поясов на востоке Центральной Африки (по А.Крекеру)



**Схема расположения ранних (рифейско-ранневендских) авлакогенов  
Восточно-Европейского крата (По Р.Г. Гарецкому, 1995):**

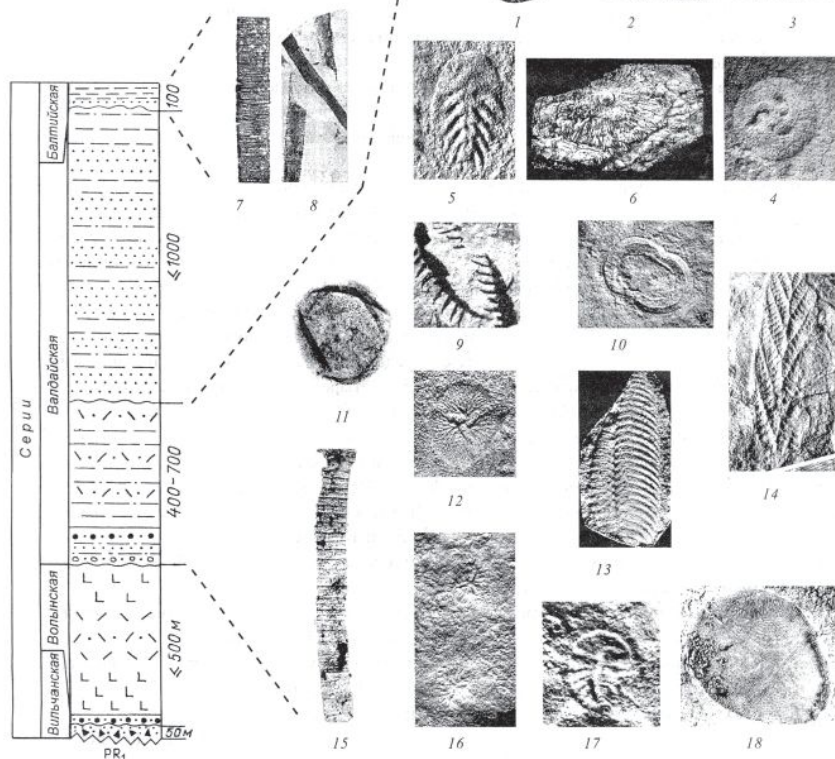
1-3 – сегменты фундамента (по С.В.Богдановой): 1 – Фенноскандинавский, 2 – Сарматский, 3 – Волго-Уральский; 4 – авлакогены и контур распространения отложений рифея – нижнего венда; 5 – интракратонные впадины, грабены; 6 – зоны перикратонных опусканий рифея-раннего венда; 7 – палеозойские складчатые области; 8 – субокеанская кора Прикаспийской впадины; 9 – изопакиты отложений рифея – нижнего венда; 10 – краевые швы кратона, в том числе зона Тессейра-Торнквиста (ТТЗ); 11 – разломы. Цифры на схеме – авлакогены: 4 – Среднерусский, 5, 6 – Волыньско-Оршанско-Крестцовый, 9 – Кажимский (Вятский), 10 – Колтасинский (Камско-Бельский), 11 – Серноводско-Абдулинский, 12 – Пачелмский, 13 – Днепровско-Донецкий; грабены и грабенообразные впадины: 1 – Пинежский, 2 – Беломорская, 3 – Ладожская, 7 – Гжатский, 8 – Московский



**Рифейские авлакогены Сибирской платформы и Верхояно-Чукотской области (по Б.Р. Шпунту):**

1 – авлакогены; 2 – авлакогены со значительной мощностью отложений; 3 – распространение дорифейского фундамента; 4 – геосинклинальные области. Цифры в кружках соответствуют наименованиям авлакогенов: 1 – Билиро-Уджинский; 2 – Западно-Анабарский; 3 – Западно-Верхоянский; 4 – Линдинский; 5 – Иркинеевский; 6 – Туруханский; 7 – Приколымский; 8 – Юдомо-Майский; 9 – Лено-Патомский (Уриксский)



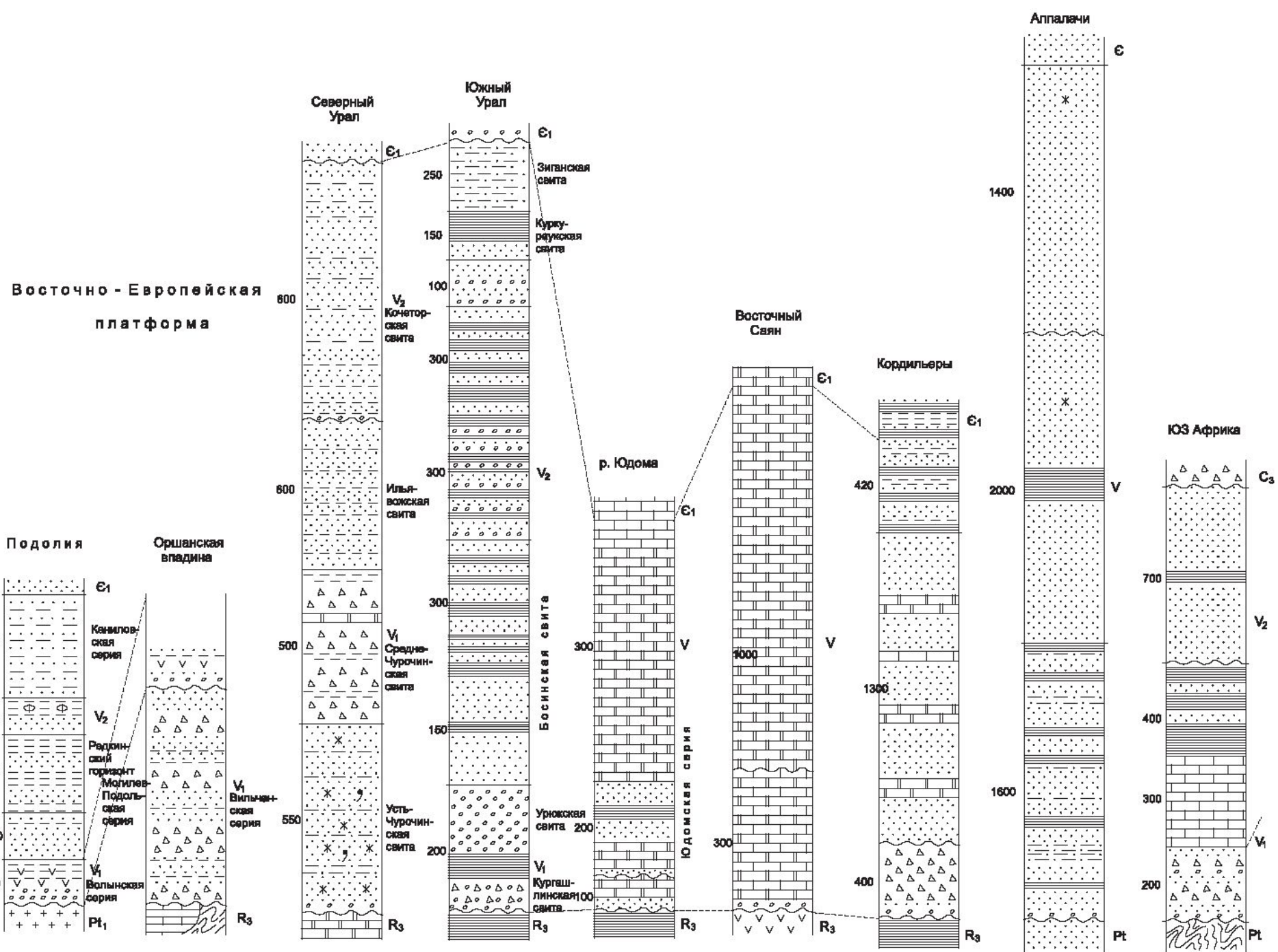


Сводная стратиграфическая колонка венда западной части Восточно-Европейской платформы

### Характерные представители вендской биоты Восточно-Европейской платформы (Соколов, 1997):

1 – *Beltanelloides sorichevae* Sok., 2 – *Ediacaria flindersi* Sprigg, 3, 4 – *Tribrachidium heraldicum* Glaessner, 5 – *Vendia Sokoloi* Keller, 6 – *Eoporpita medusa* Wade, 7 – *Sabellidites cambriensis* Yan., 8 – *Saarina tenera* Sok., 9 – *Redkinia spinosa* Sok., 10 – *Nimbia dniesteri* Fedonkin, 11 – *Leioshaeridia laminarita* (Timofeev), 12 – *Albumares brunsae* Fedonkin, 13 – *Pteridinium nenoxa* Keller, 14 – *Charnia masoni* Ford, 15 – *Botuoba magna* (Tynni et Donner), 16 – *Anfestastankovskii* Fedonkin, 17 – *Vendomia menneri*, Keller, 18 – *Dicinsonia cf. tenuis* Glaessner et Wade.

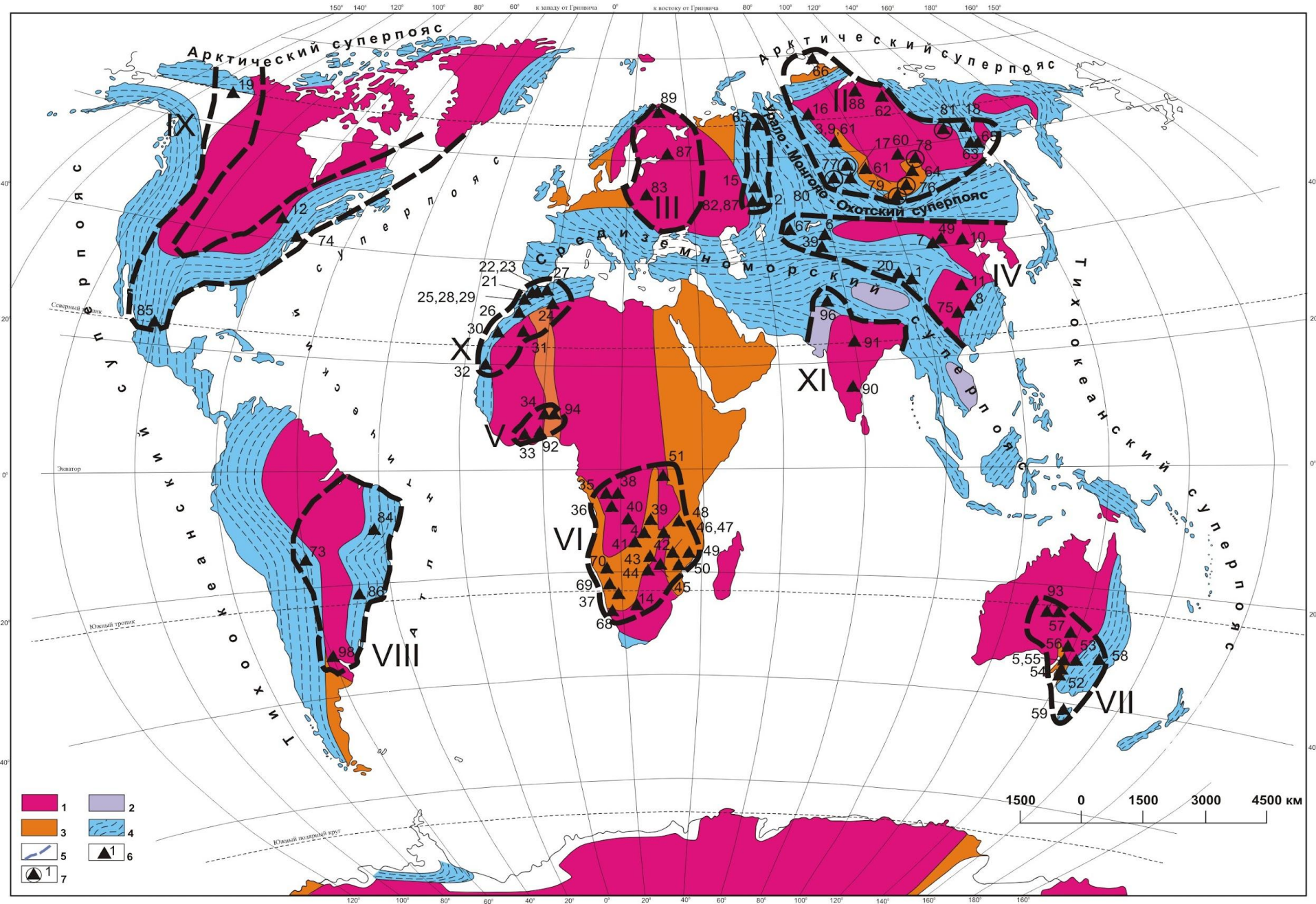
Заемствованно у В.М. Подобинной и С.А. Родыгина (2000)



Сопоставление разрезов вендской системы



# Экзогенные полезные ископаемые в рифе





# Эндогенные полезные ископаемые в рифе

